

感染症モデルにおける 進行波解について

江夏 洋一

東京理科大学理学部第一部応用数学科

Mathematics and Phenomena in Miyazaki 2018

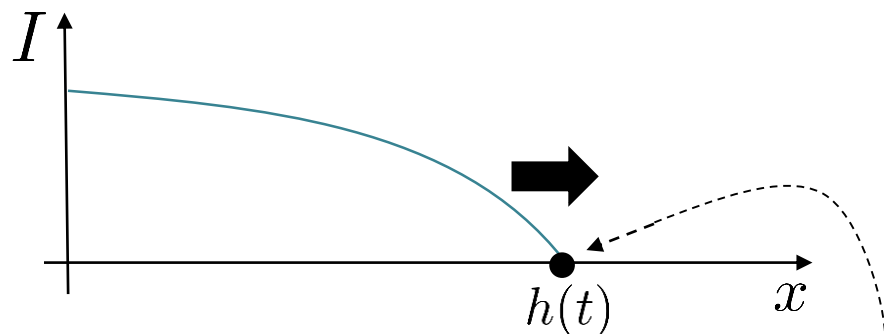
2018年11月17日(土), 10:15-11:10@B210教室

Existence of a traveling wave

SIR model with a free boundary

$$(FBP) \begin{cases} S_t = dS_{xx} - SI, & x \in \mathbb{R}, t > 0, \\ I_t = I_{xx} + SI - \gamma I, & x < h(t), t > 0, \\ S_x(t, 0) = I_x(t, 0) = 0, & t > 0, \\ 0 = I(h(t), t), & t > 0, \\ h'(t) = -\mu I_x(h(t), t) & t > 0, \\ h(0) = h_0. \end{cases}$$

Stefan-like condition (cf. Du, Lin [1])



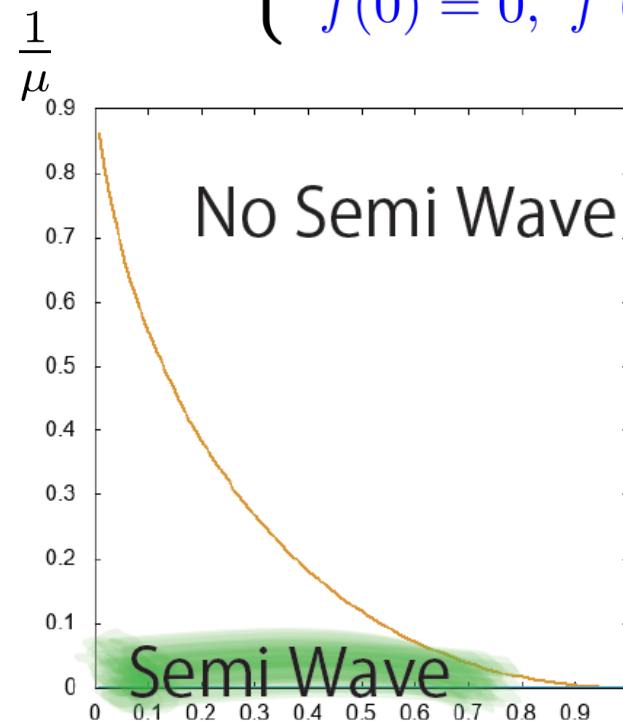
$$h'(t) > 0 (\because I_x(h(t), t) < 0)$$

[1] Du, Lin, J. Eur. Math. Soc. **17** (2010) 2673-2724.

$$\begin{aligned} S(x, t) &= g(z), \\ I(x, t) &= f(z), \quad z = x - ct \end{aligned}$$

[2] E., Ushijima, Ishiwata, submitted.

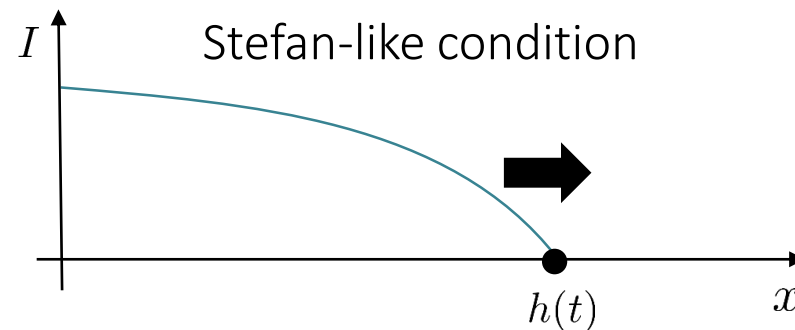
$$(SW) \begin{cases} dg'' + cg' - fg = 0, \\ f'' + cf' + fg - \gamma f = 0, \\ g(-\infty) = a, \quad g'(-\infty) = 0, \\ g(+\infty) = 1, \quad g'(+\infty) = 0, \\ f(-\infty) = f'(-\infty) = 0, \\ f(0) = 0, \quad f'(0) = -\frac{c}{\mu}. \end{cases}$$



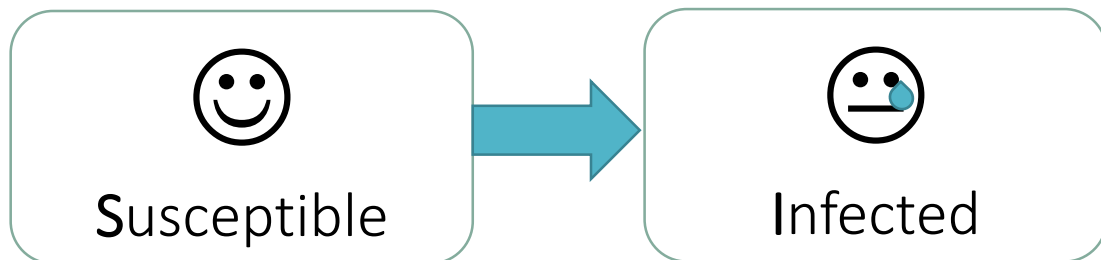
Semi-wave:
a traveling
wave
spreading in
a half space.

$$\gamma (= \frac{1}{R_0})$$

自由境界をもつ 感染症モデル

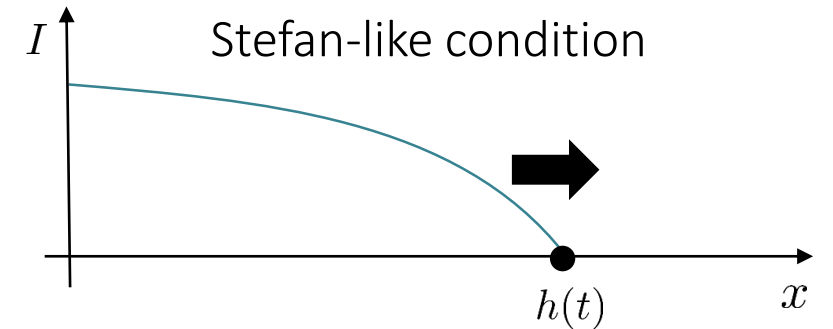


$$\begin{aligned}
 \text{(FBP)} \quad \left\{ \begin{array}{l}
 S_t = dS_{xx} - SI, \\
 I_t = I_{xx} + SI - \gamma I, \\
 S_x(t, 0) = I_x(t, 0) = 0, \\
 0 = I(h(t), t), \\
 h'(t) = -\mu I_x(h(t), t), h(0) = h_0, \\
 S(x, 0) = S_0(x), \\
 I(x, 0) = I_0(x),
 \end{array} \right. \quad \begin{array}{l}
 x \in \mathbb{R}, t > 0, \\
 x < h(t), t > 0, \\
 t > 0, \\
 t > 0, \\
 t > 0, \\
 x \in \mathbb{R}, \\
 x < h(t).
 \end{array}
 \end{aligned}$$



- $d > 0$ 拡散係数
- $\gamma > 0$ 回復率
- $h_0 > 0$ 時刻 $t = 0$ における
感染個体 I の生息域の境界
- $\mu > 0$ 自由境界の移動係数

自由境界をもつ 感染症モデル

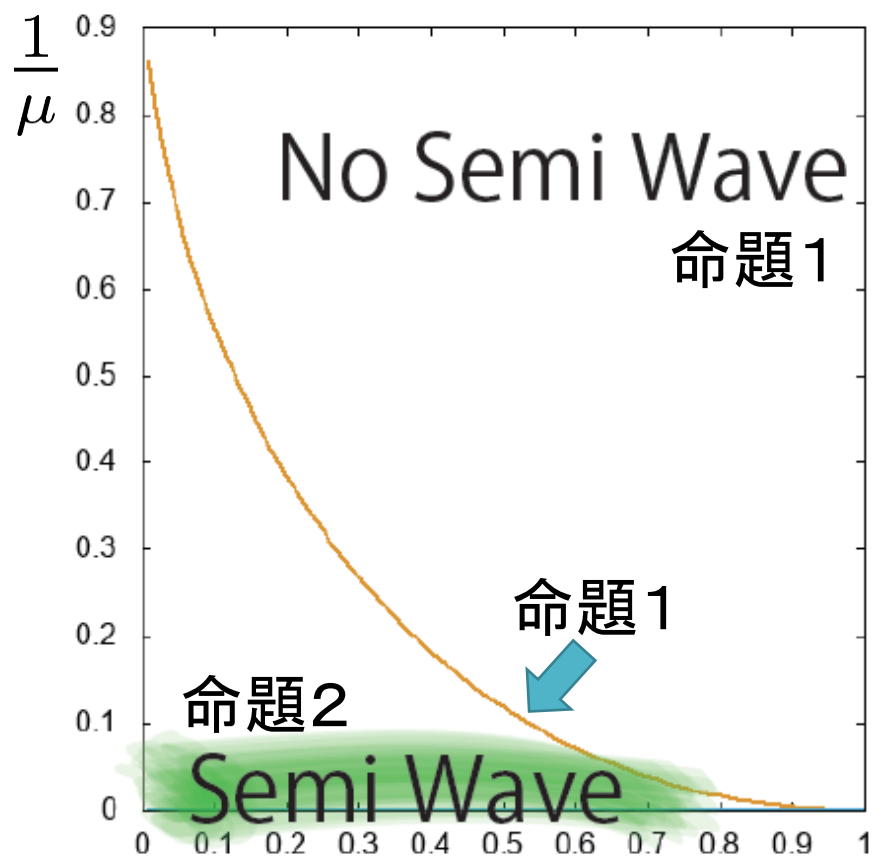


$$\text{(FBP)} \quad \left\{ \begin{array}{ll} S_t = dS_{xx} - SI, & x \in \mathbb{R}, t > 0, \\ I_t = I_{xx} + SI - \gamma I, & x < h(t), t > 0, \\ S_x(t, 0) = I_x(t, 0) = 0, & t > 0, \\ 0 = I(h(t), t), & t > 0, \\ h'(t) = -\mu I_x(h(t), t), h(0) = h_0, & t > 0, \\ S(x, 0) = S_0(x), & x \in \mathbb{R}, \\ I(x, 0) = I_0(x), & x < h(t). \end{array} \right.$$

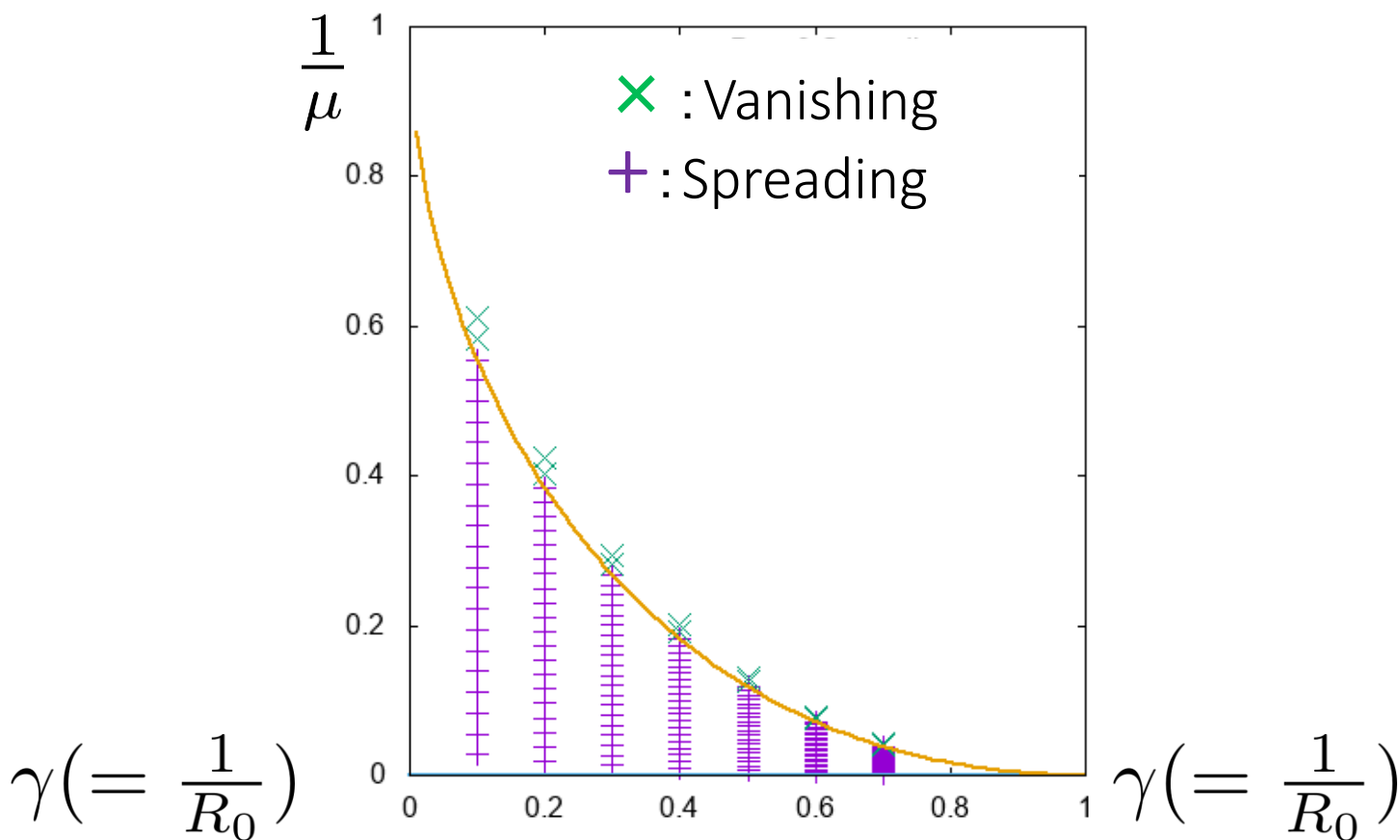
目的

- (1) 回復率 $\gamma (= \frac{1}{R_0})$ と移動係数 μ が与える解の挙動への影響
- (2) 数値計算によるパラメータ依存性の観測

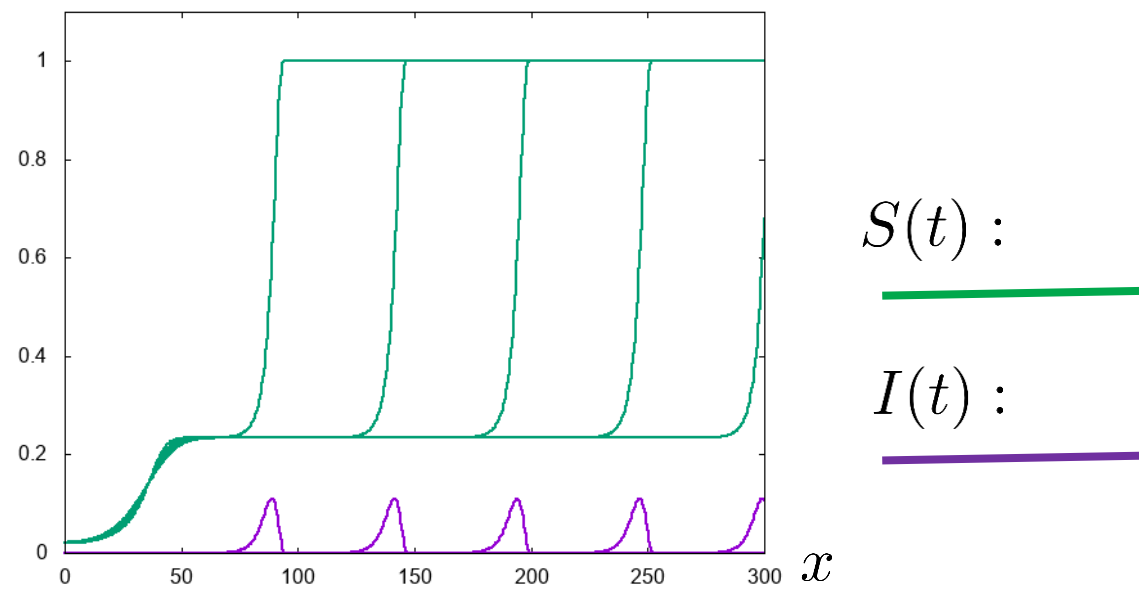
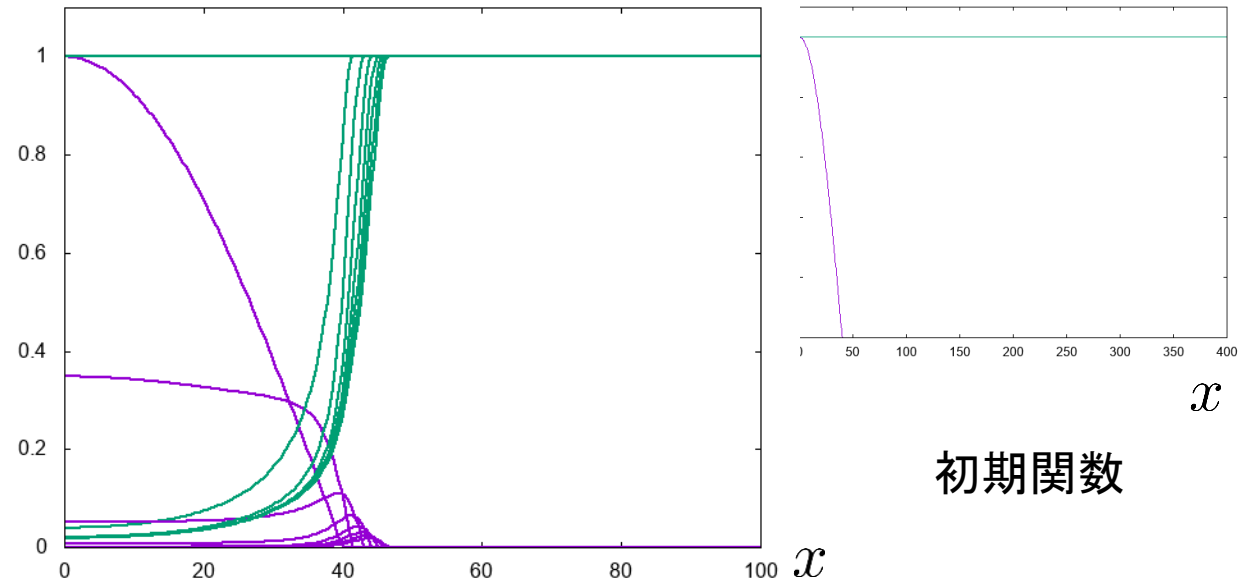
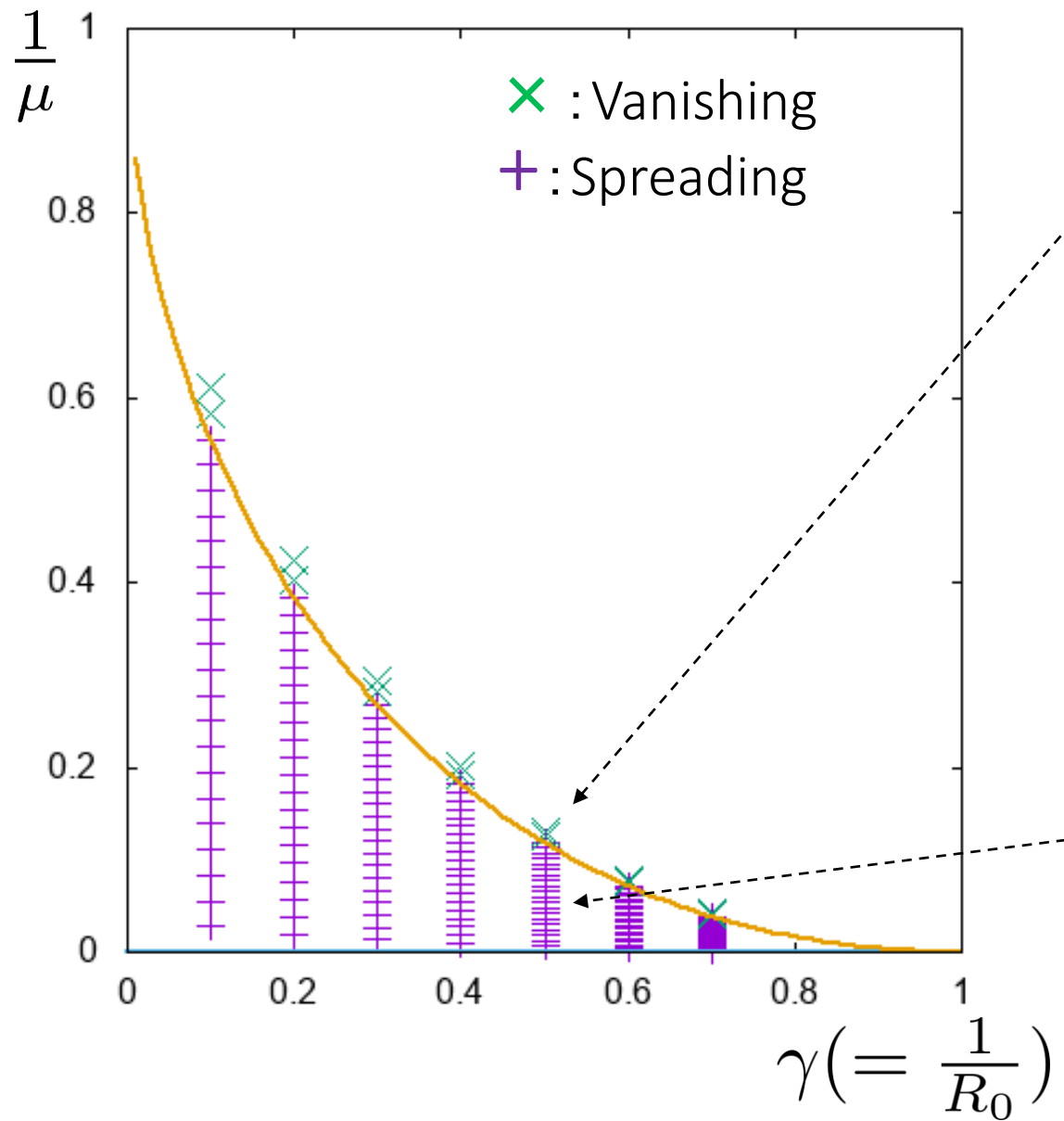
Semi wave の存在・非存在 ($d = 0$)



Semi-wave の存在・非存在領域



Spreading, Vanishing が起こる
パラメーター領域



基本再生産数 R_0

Kermack-McKendrick (1927)

$$\begin{cases} S' = -\beta SI, \\ I' = \beta SI - \gamma I, \quad t > 0. \end{cases}$$

$$R_0 = \frac{\beta S(0)}{\gamma} \text{ とおく.}$$

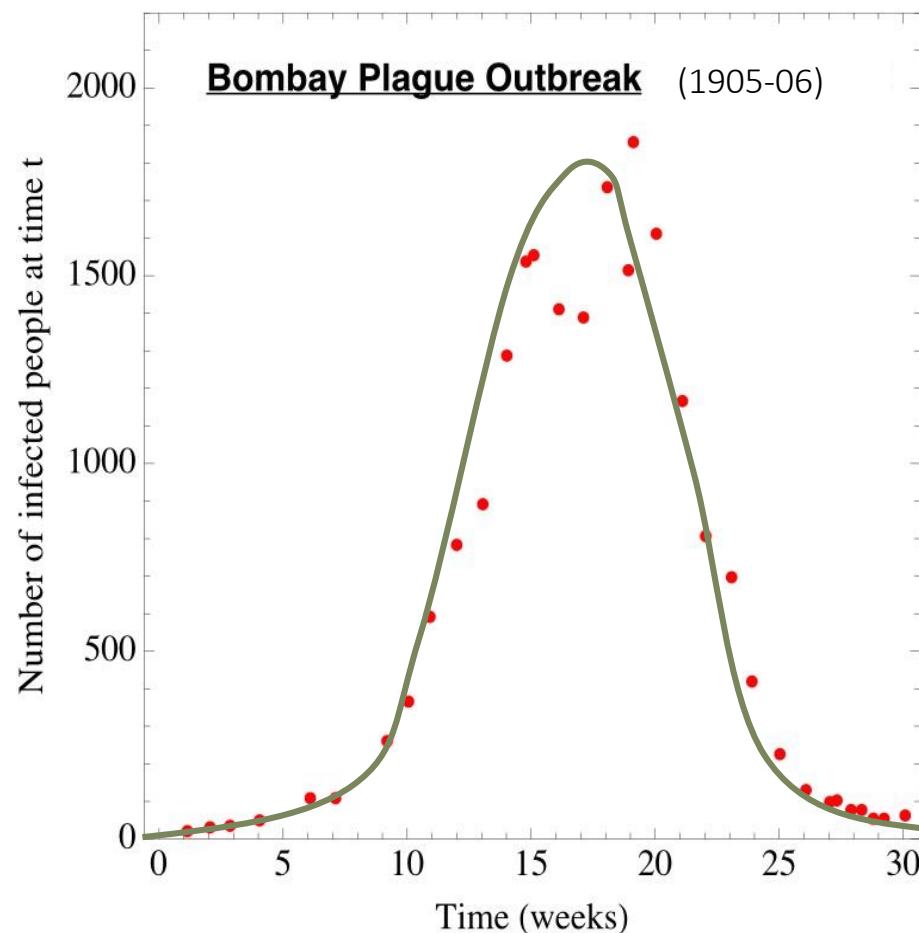
R_0 が 1 より大きくとも
流行を抑えられるか？

(1) $R_0 > 1$ のとき

感染個体数 I は初期時刻からの微小時間では単調増加であり、ある時刻で最大値をとる。その後、 I は単調減少かつ 0 に収束する。

(2) $R_0 \leq 1$ のとき

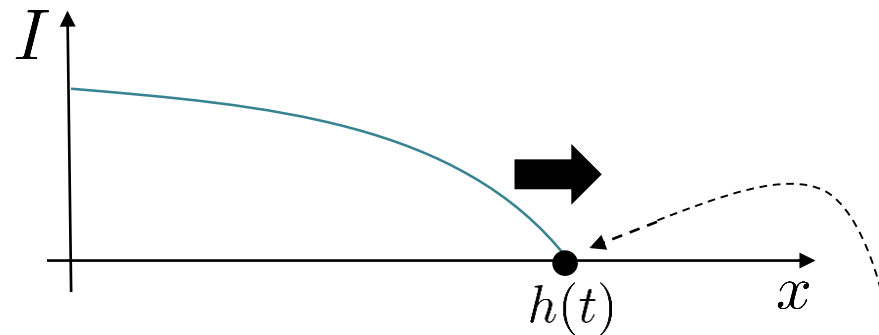
感染個体数 I は単調減少かつ 0 に収束する。



移動境界

$$(FBP) \left\{ \begin{array}{ll} S_t = dS_{xx} - SI, & x \in \mathbb{R}, t > 0, \\ I_t = I_{xx} + SI - \gamma I, & x < h(t), t > 0, \\ S_x(t, 0) = I_x(t, 0) = 0, & t > 0, \\ 0 = I(h(t), t), & t > 0, \\ h'(t) = -\mu I_x(h(t), t) & t > 0, \\ h(0) = h_0. \end{array} \right.$$

Stefan-like condition (cf. Du, Lin [1])



$$h'(t) > 0 (\because I_x(h(t), t) < 0)$$

FBP に関する先行研究

Du, Lin (2010), Du, Lou (2015), Du, Matsuzawa, Zhou (2015),
Kaneko, Matsuzawa (2015), Kawai, Yamada (2016)

- Single RD eq. + FBP
- Spreading-Vanishing dichotomy
- Estimate of spreading speed, etc.

一方, 自由境界をもつ RD “system” に対する先行研究が
Single RD eq. と比べて少ない.

全空間における先行研究

Kaellen [3], Hosono, Ilyas [2]

$$\begin{cases} S_t = dS_{xx} - SI, & x \in \mathbb{R}, t > 0, \\ I_t = I_{xx} + SI - \gamma I, & x \in \mathbb{R}, t > 0. \end{cases}$$

$c > 0$ を定数として

$$S(x, t) = g(z), \quad I(x, t) = f(z), \quad z = x - ct$$

を代入すると

$$(TW) \begin{cases} dg'' + cg' - fg = 0, \\ f'' + cf' + fg - \gamma f = 0, \\ g(-\infty) = a, \quad g(+\infty) = 1, \quad g'(\pm\infty) = 0, \\ f(\pm\infty) = f'(\pm\infty) = 0. \end{cases}$$

ここで, $a \in (0, 1)$ である。

[2] Hosono, Ilyas, Math. Models Meth. Appl. Sci., 5 (1995) 935-966.

[3] Kaellen, Nonlinear Anal. TMA, 8 (1984) 851-856.

TW の存在性

Kaellen [3], Hosono, Ilyas [2]

$$(TW) \begin{cases} dg'' + cg' - fg = 0, \\ f'' + cf' + fg - \gamma f = 0, \\ g(-\infty) = a, \quad g(+\infty) = 1, \quad g'(\pm\infty) = 0, \\ f(-\infty) = f'(-\infty) = 0, \\ f(+\infty) = f'(+\infty) = 0. \end{cases}$$

定理 ($d = 0$: Kaellen [3], $d \geq 0$: Hosono, Ilyas [2])

- (1) $\gamma < 1$ であることと (TW) の解が存在することは互いに同値である.
- (2) $\gamma < 1$ とする. このとき, 任意の $c \geq 2\sqrt{1-\gamma}$ に対して, (TW) はただ一つの解を持つ.

[2] Hosono, Ilyas, Math. Models Meth. Appl. Sci., 5 (1995) 935-966.

[3] Kaellen, Nonlinear Anal. TMA, 8 (1984) 851-856.

主結果

(FBP) における Semi wave が満たす方程式

$$(SW) \begin{cases} dg'' + cg' - fg = 0, \\ f'' + cf' + fg - \gamma f = 0, \\ g(-\infty) = a, \quad g(+\infty) = 1, \quad g'(\pm\infty) = 0, \\ f(-\infty) = f'(-\infty) = 0, \\ f(0) = 0, \quad f'(0) = -\frac{c}{\mu}. \end{cases}$$

命題1 (非存在) $d = 0$ とする。

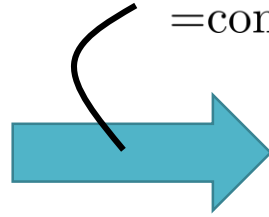
任意の $\gamma < 1$ に対して, $\mu < \frac{1}{1-\bar{a}+\gamma \log \bar{a}}$ が成り立つとき, (SW) を満たす f, g, c は存在しない. ここで, $\bar{a} < 1$ は $\bar{a} - 1 + \frac{\gamma}{2} (\log \bar{a})^2 - \bar{a} \log \bar{a} = 0$ を満たすただ一つの解である.

命題1の証明

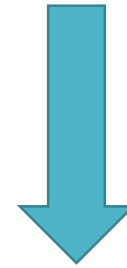
$$H(g, f, f') := f + g - \gamma \log g + \frac{f'}{c}$$

=const.

$$(SW) \begin{cases} cg' - fg = 0, \\ f'' + cf' + fg - \gamma f = 0. \end{cases}$$



$$\begin{cases} cg' - fg = 0, \\ f' = c(b - f - g + \gamma \log g). \end{cases}$$



$$u = f, \quad v = \log g - \log a, \\ \tau = \frac{z}{c}$$

$$(*) \begin{cases} \frac{du}{d\tau} = c^2(\gamma v - a(e^v - 1) - u), \\ \frac{dv}{d\tau} = u, \quad -\infty < \tau < 0, \\ u(-\infty) = u(0) = 0, \\ v(-\infty) = 0, \quad v(0) = -\log a. \end{cases}$$

$$F(u, v) = \frac{1}{2}u^2 - c^2 \left(\frac{\gamma}{2}v^2 - a(e^v - v) \right)$$

とおくと, $\frac{d}{d\tau} F(u, v) \leq 0$ より

$$F(0, 0) \geq F(0, -\log a).$$

しかし, $\mu < \frac{1}{1 - \bar{a} + \gamma \log \bar{a}}$ であるため,

$F(0, 0) < F(0, -\log a)$ となり矛盾. \square

主結果

$$(SW) \begin{cases} dg'' + cg' - fg = 0, \\ f'' + cf' + fg - \gamma f = 0, \\ g(-\infty) = a, \quad g(+\infty) = 1, \quad g'(\pm\infty) = 0, \\ f(-\infty) = f'(-\infty) = 0, \\ f(0) = 0, \quad f'(0) = -\frac{c}{\mu}. \end{cases}$$

命題2 (存在) $d = 0$ とする。

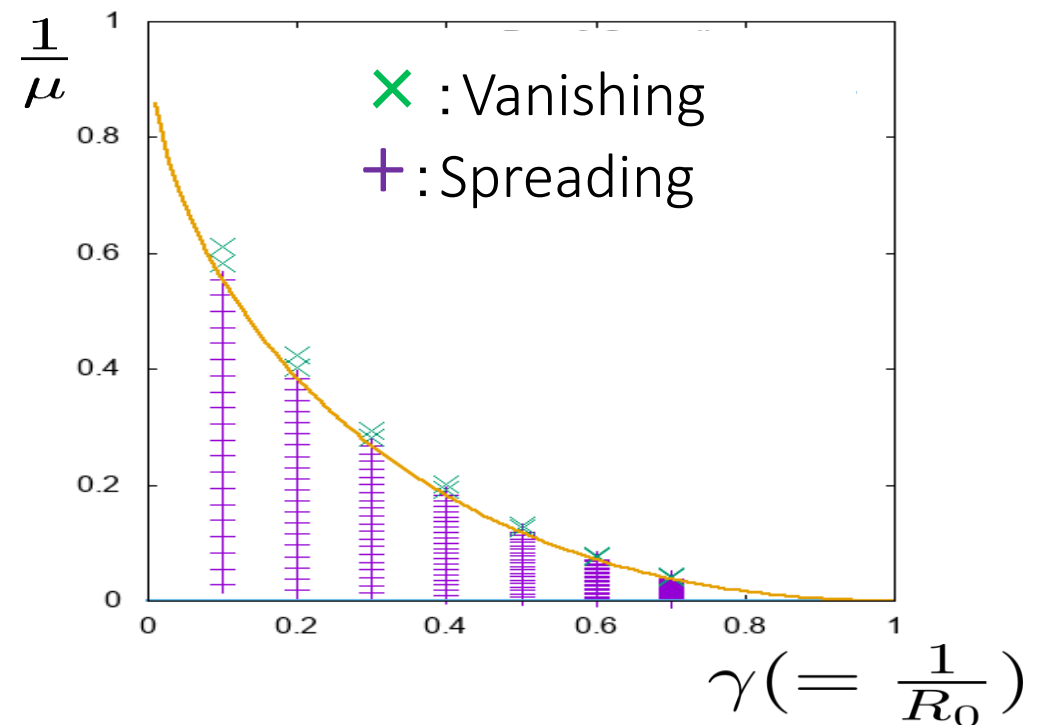
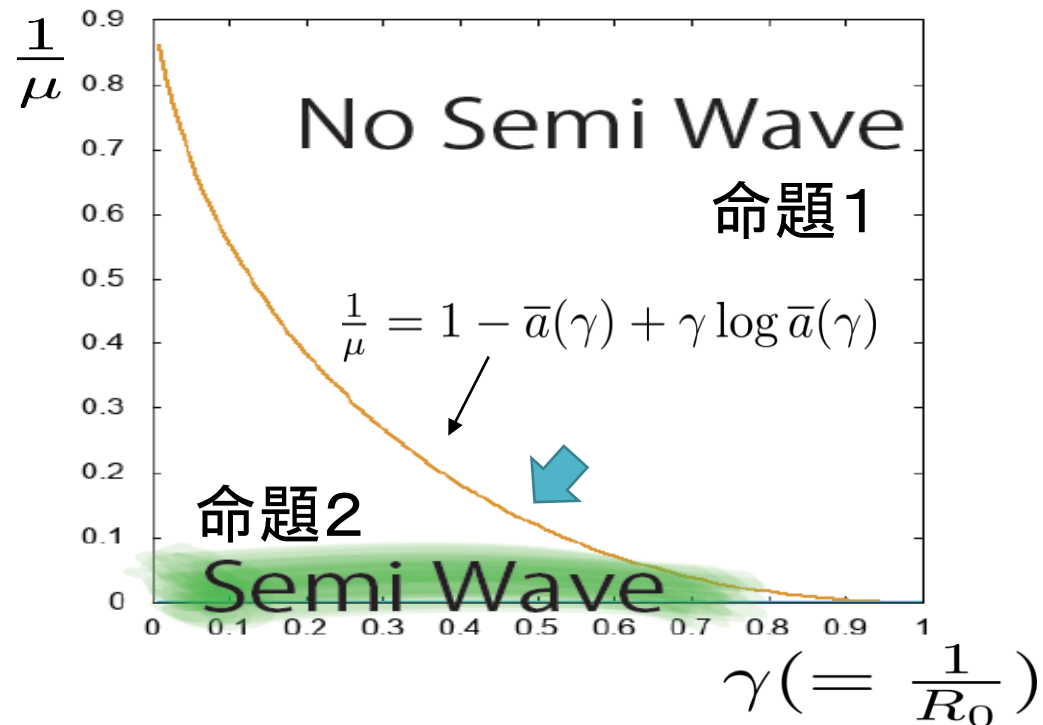
任意の $\gamma < 1$ に対してある $a_*(\gamma)$ が存在し, $\underline{a}(\gamma) \leq a < a_*(\gamma)$ を満たす任意の a に対して $\mu = \frac{1}{1-a+\gamma \log a}$ のときに (SW) を満たす **非負の f, g, c が存在する**. このとき, $\underline{a} < 1$ は $\underline{a}(\gamma) - \gamma \log \underline{a}(\gamma) = 0$ を満たすただ一つの解である. また, $c < 2\sqrt{\gamma - a'(\gamma)}$ が成り立つ. ここで, $a'(\gamma) > a$ は

$$a - \gamma \log a = a'(\gamma) - \gamma \log a'(\gamma)$$

を満たすただ一つの解である。

結論

- $d = 0$ の場合に, 自由境界をもつ感染症モデル (FBP) が満たす Semi wave の存在条件および非存在条件を得た.
- Semi wave の存在・非存在を分ける領域内のパラメーターにより, 解の Spreading, Vanishing を数値計算により調べた.



今後の課題

- $d > 0$ の場合の semi wave の存在条件と非存在条件
- 出生率や自然死亡率を含めた場合
- Spreading speed の評価

